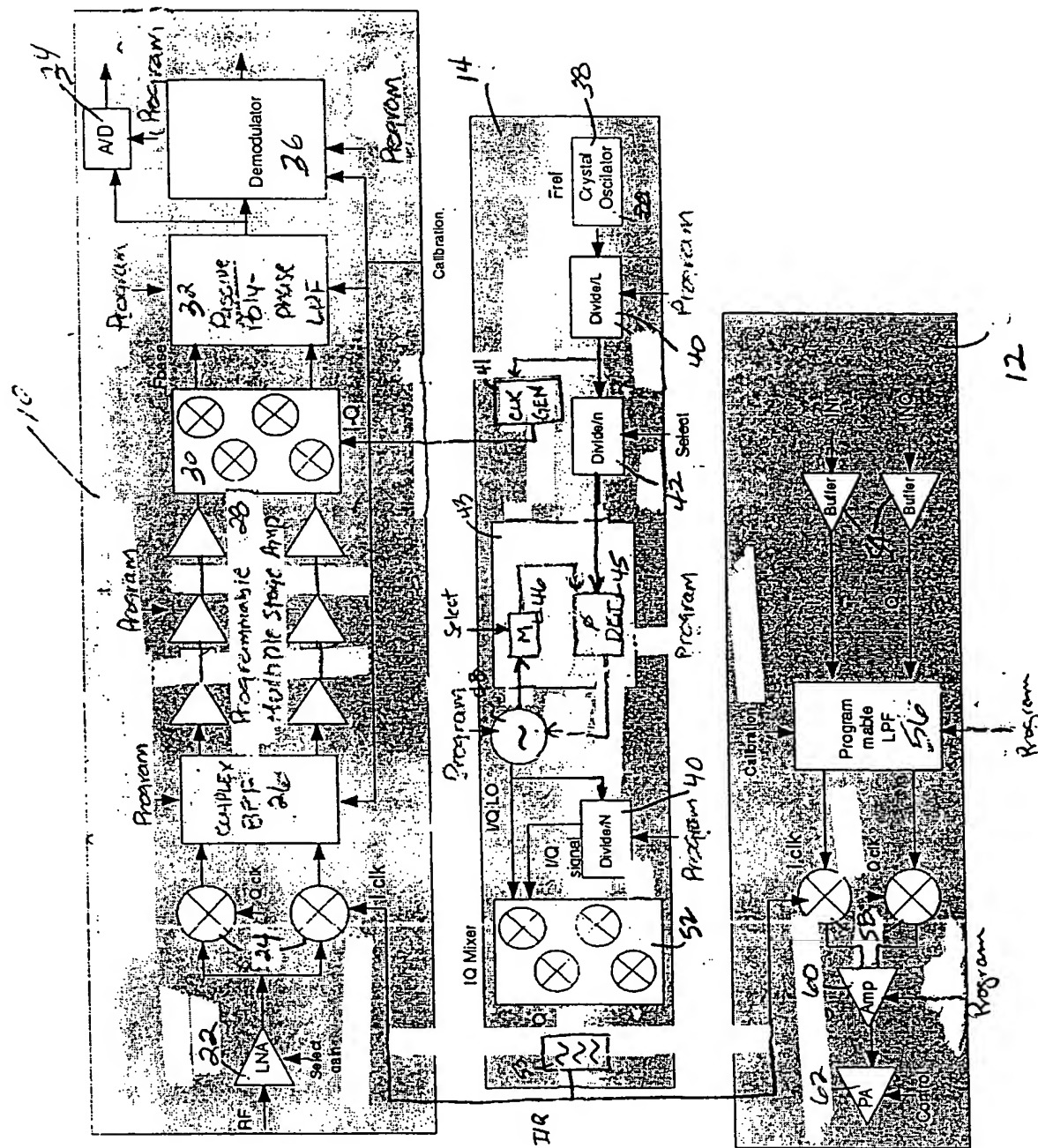


FIG. 1



BEST AVAILABLE COPY FIG. 2

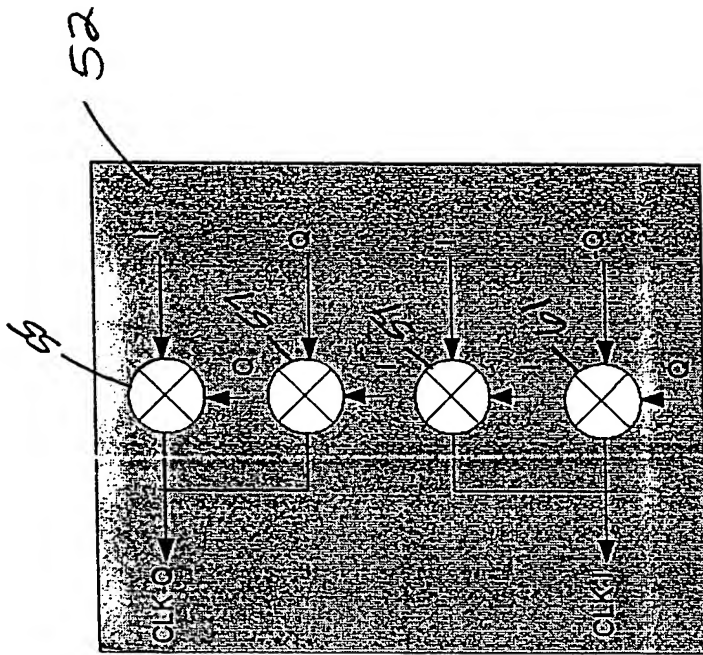


FIG. 3

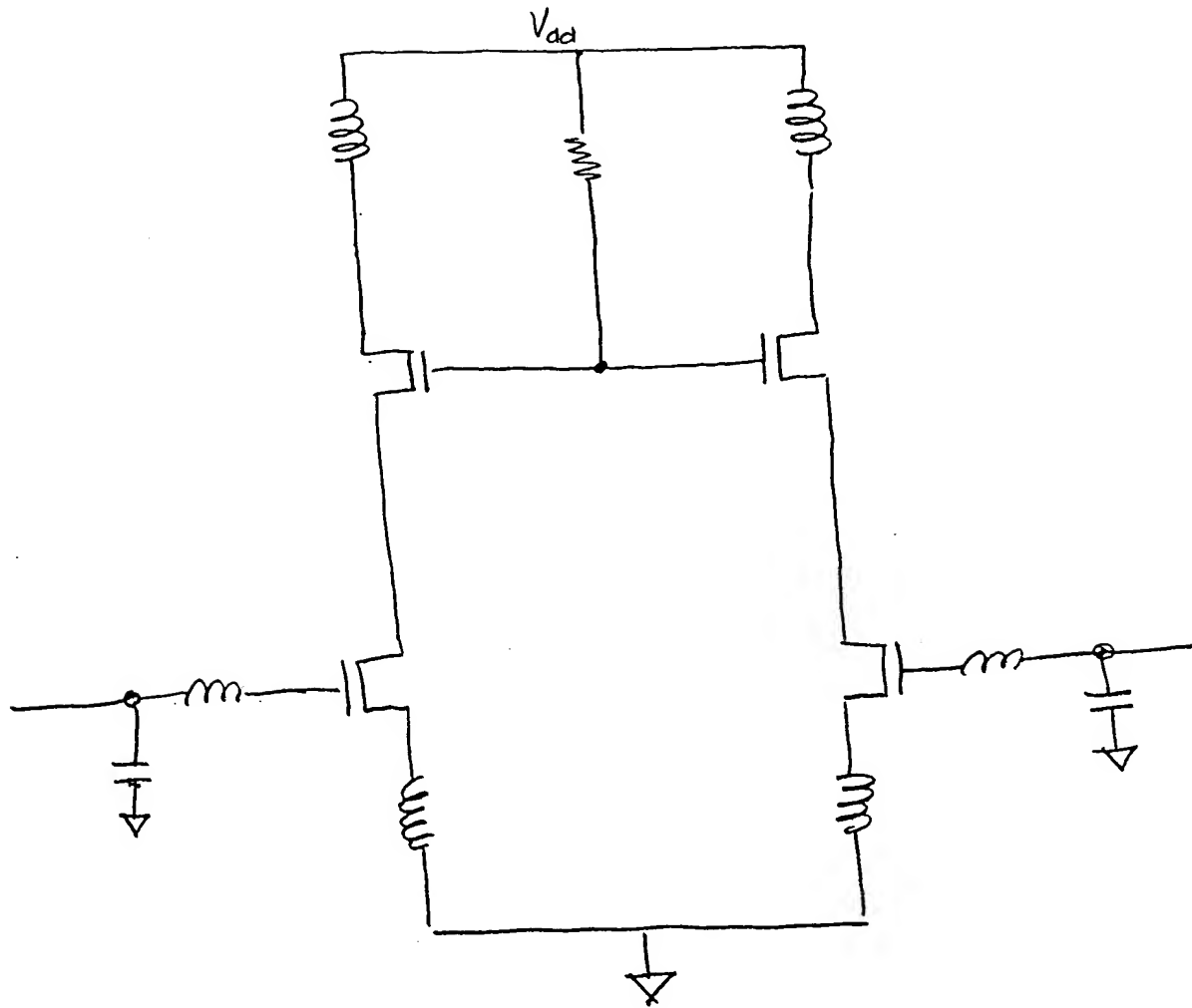


FIG. 4(a)

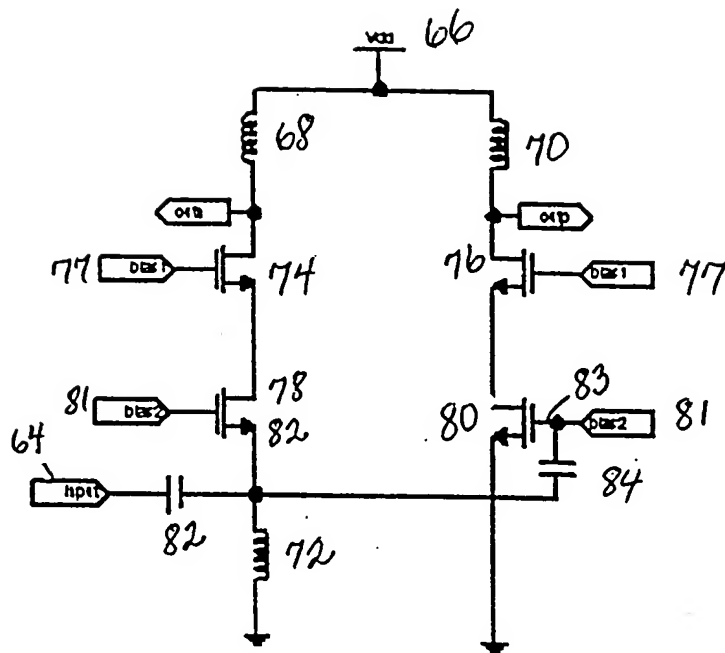


FIG. 4

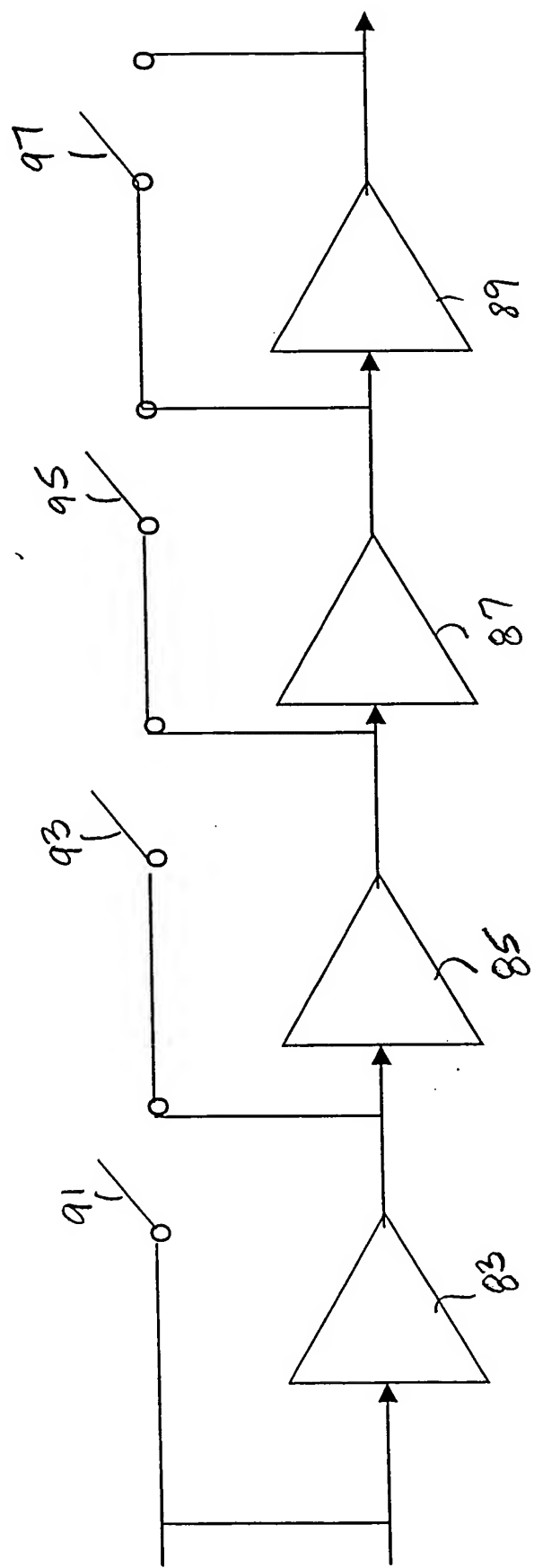


FIG. 5

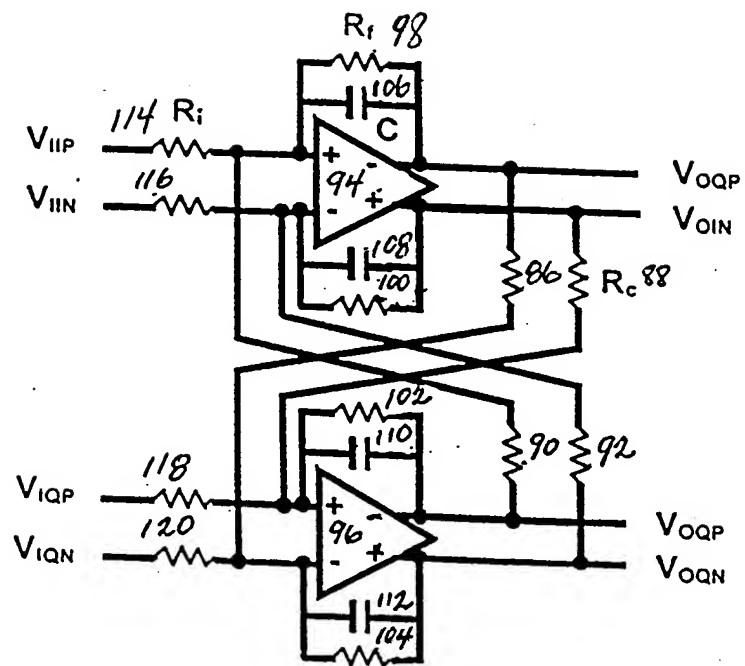


FIG. 6

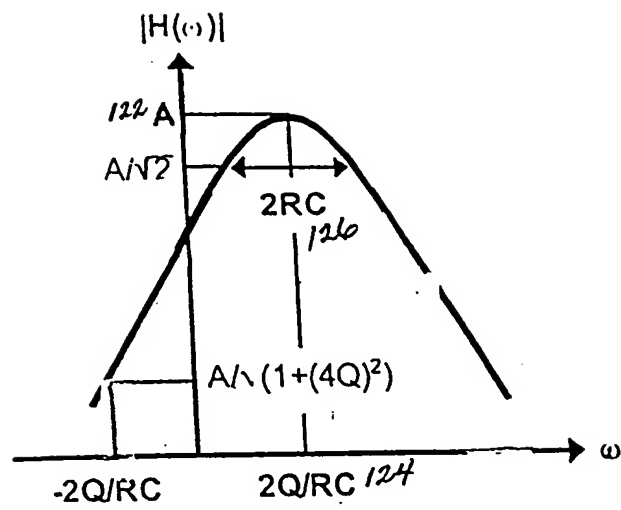


FIG. 7

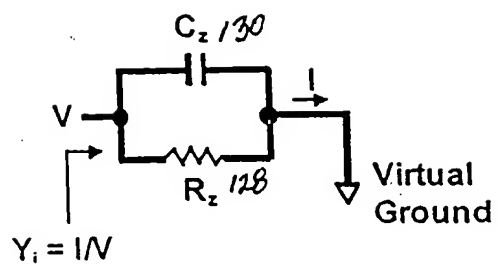


FIG. 8

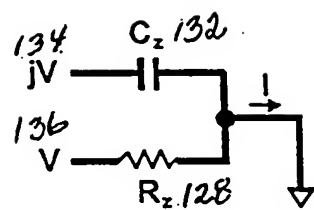


FIG. 9

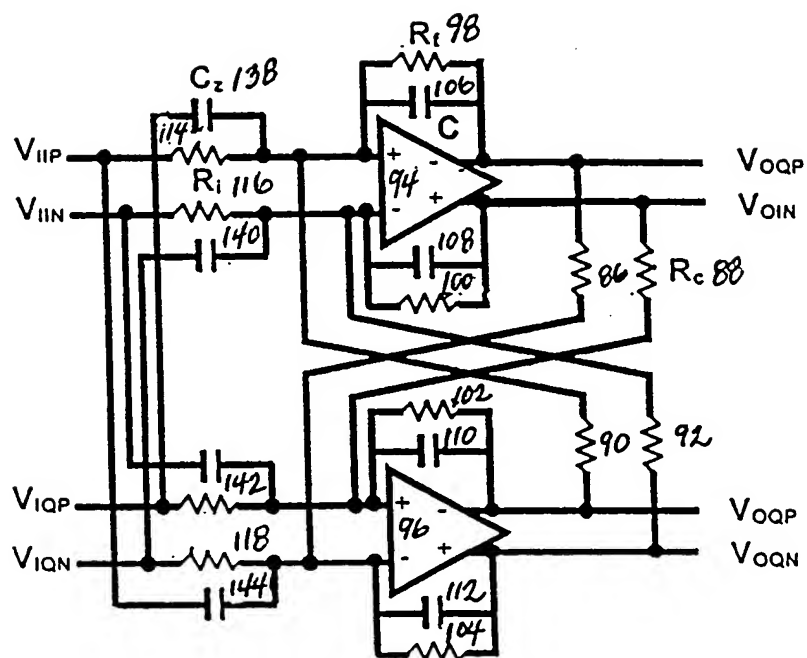


FIG. 10

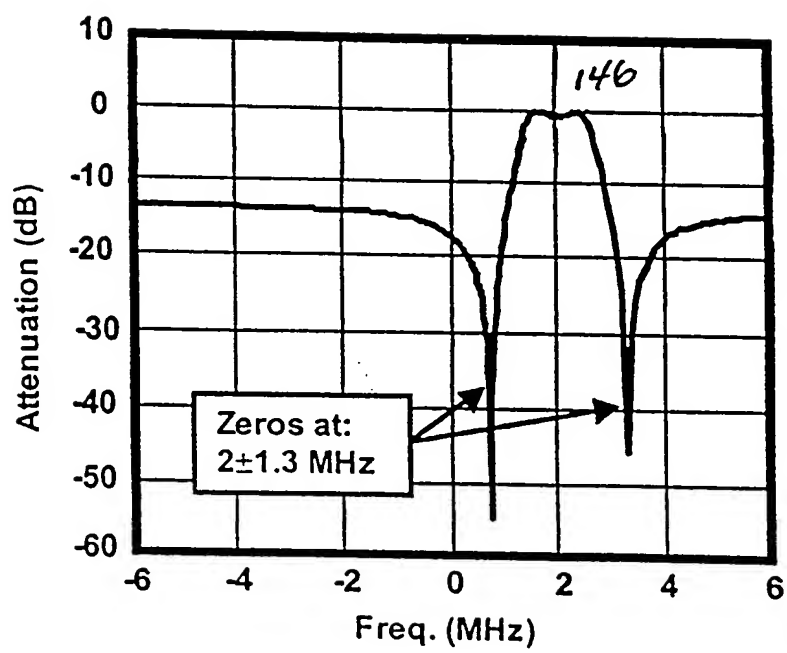


FIG. 11

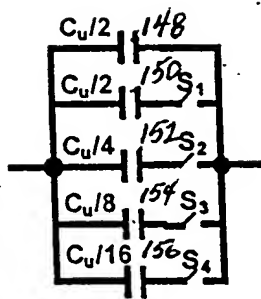


FIG. 12(a)

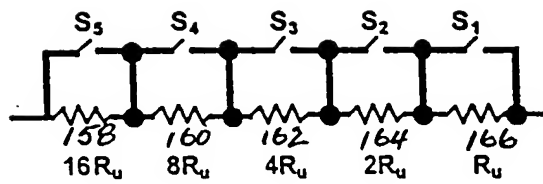


FIG. 12(b)

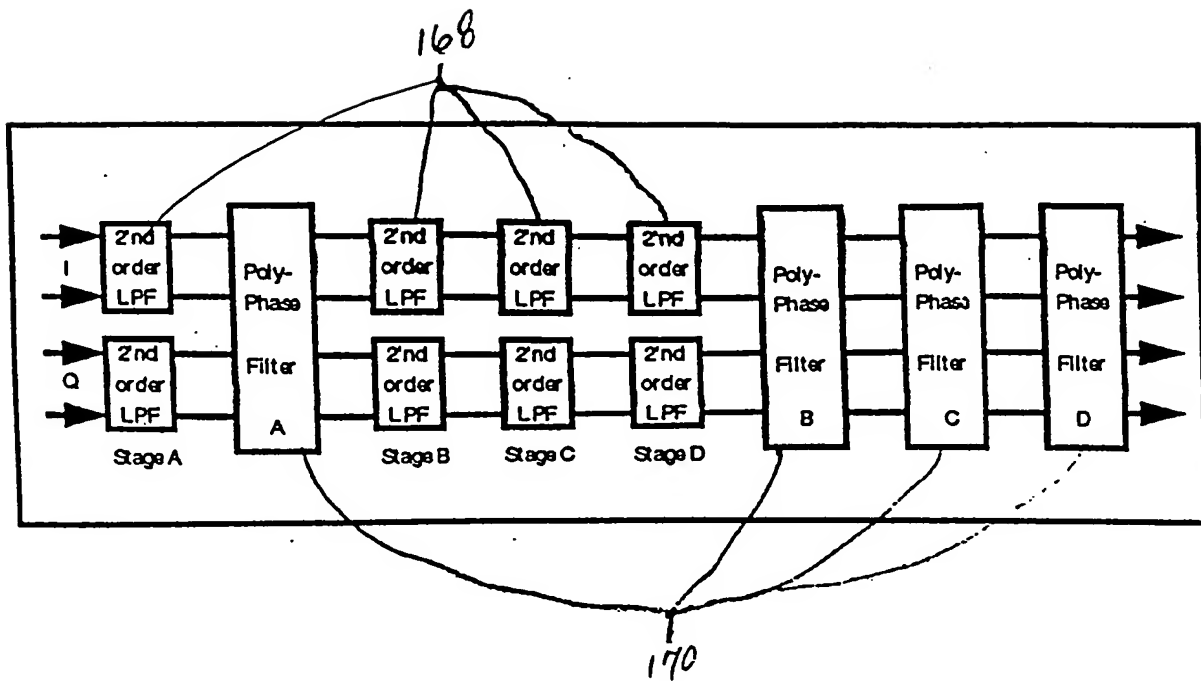


FIG. 13

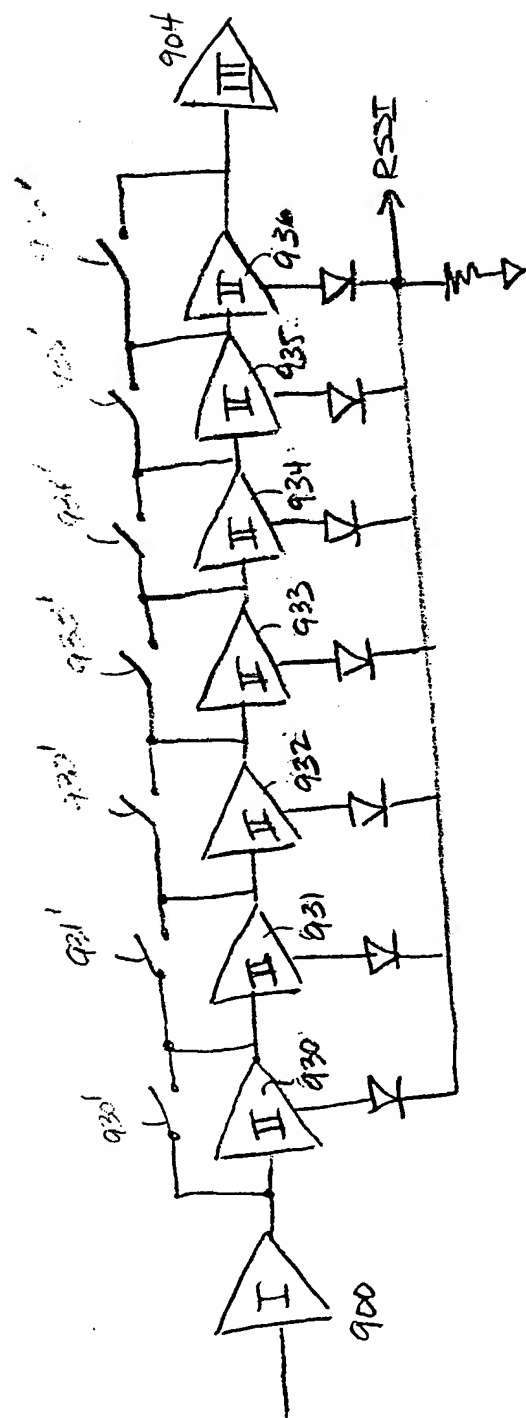


FIG. 14



FIG. 15

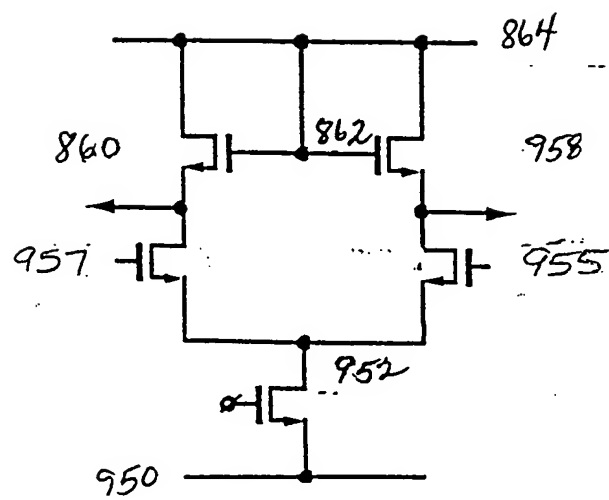


FIG. 16(a)



FIG. 17(a)

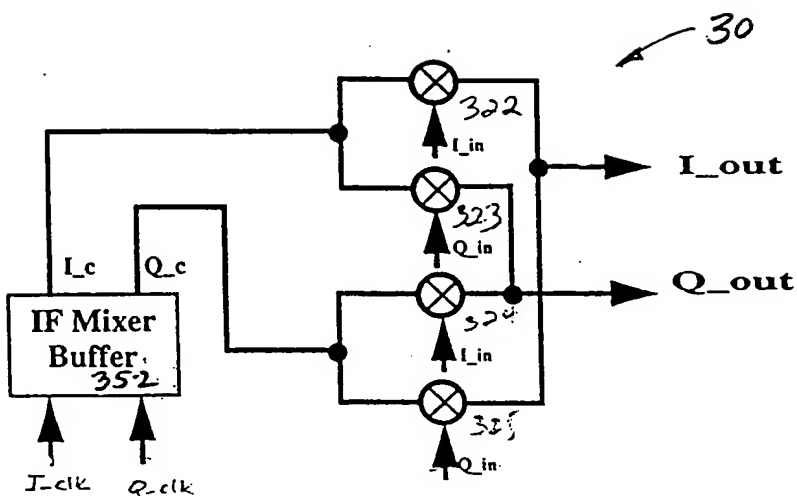


FIG. 17(b)

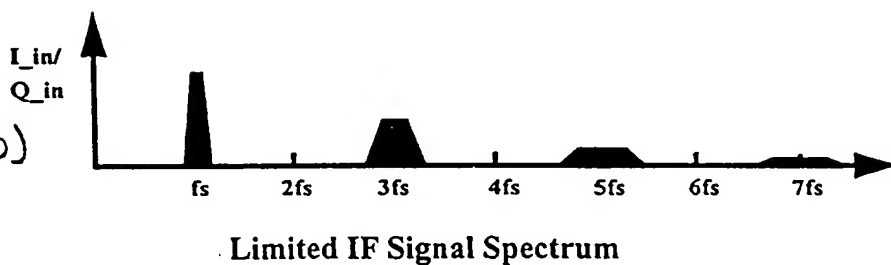


FIG. 17(c)

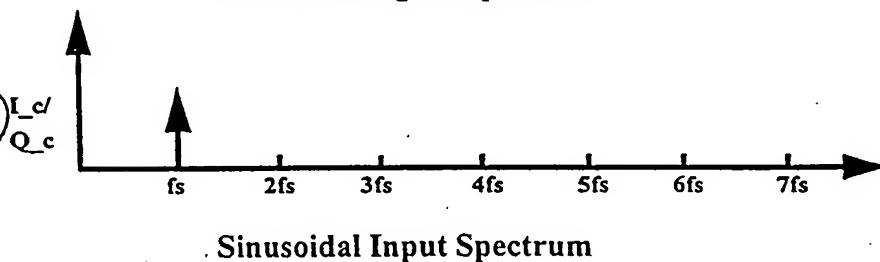


FIG. 17(d)

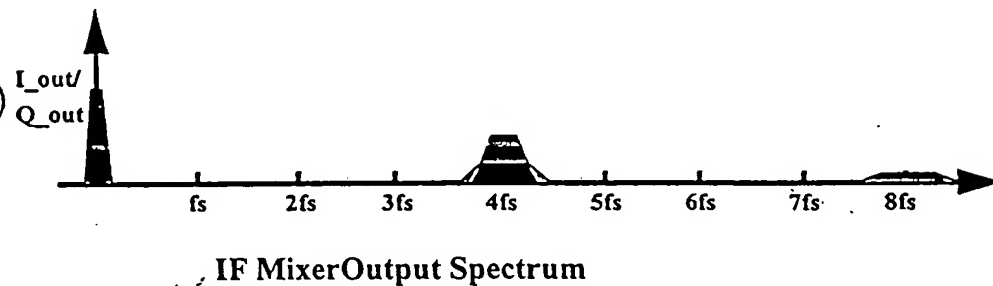


FIG. 18

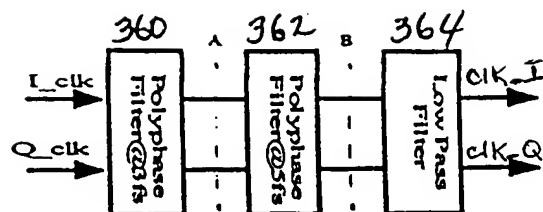


FIG. 19(a)

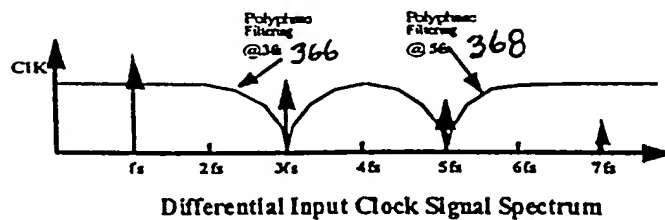


FIG. 19(b)

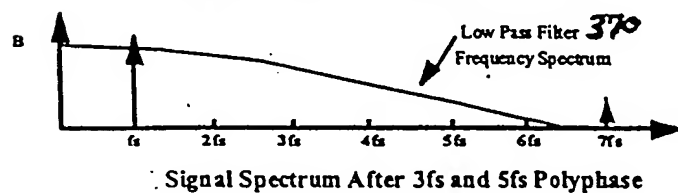
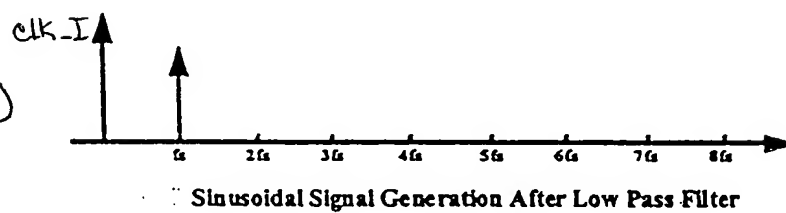
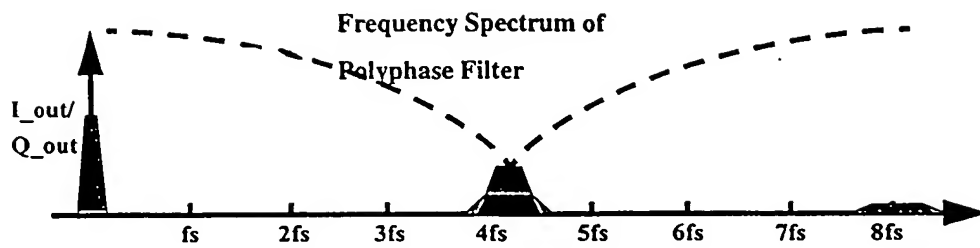


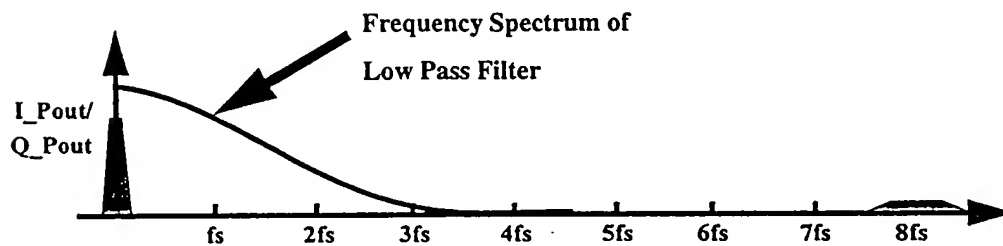
FIG. 19(c)





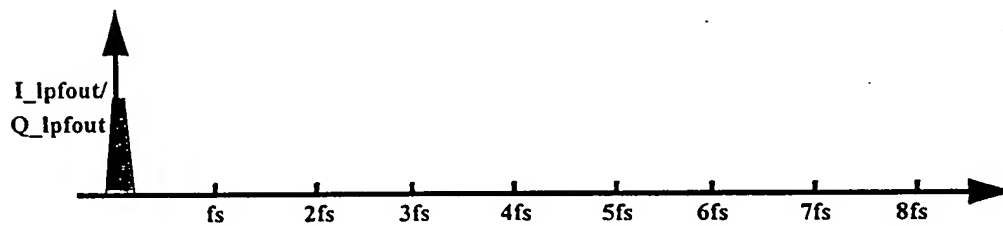
Signal Spectrum at Polyphase Input

FIG. 20(a)



Signal Spectrum at Polyphase Output

FIG. 20(b)



Signal Spectrum at Low Pass Filter Output

FIG. 20(c)

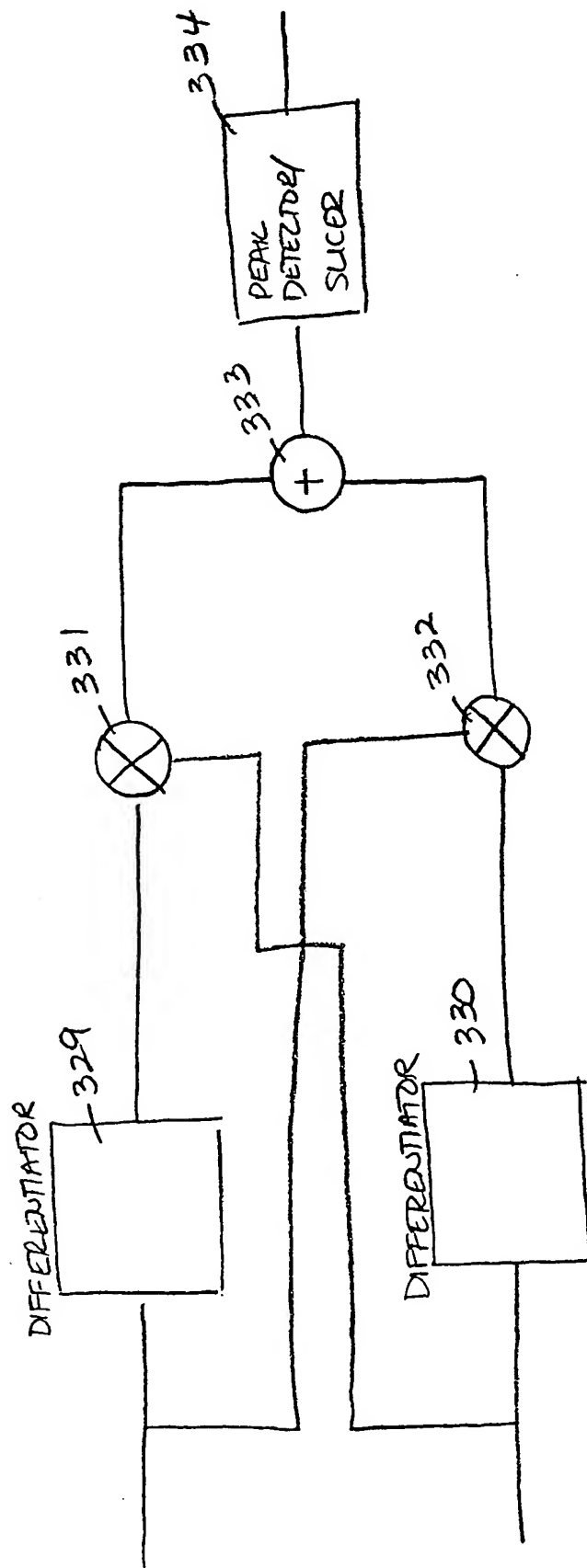


FIG. 21

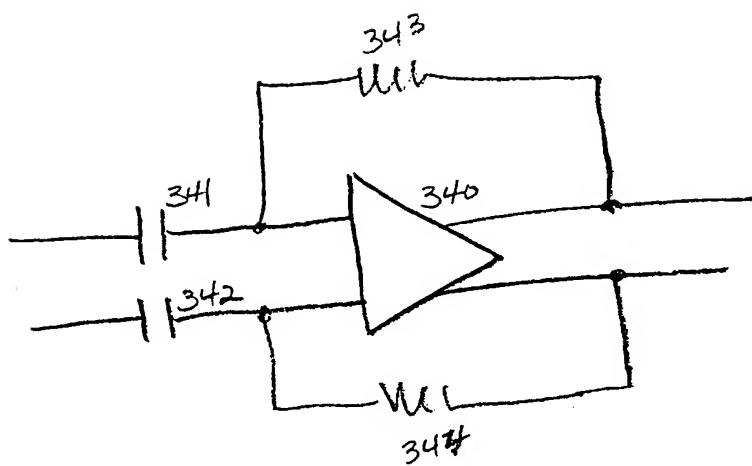


FIGURE 22

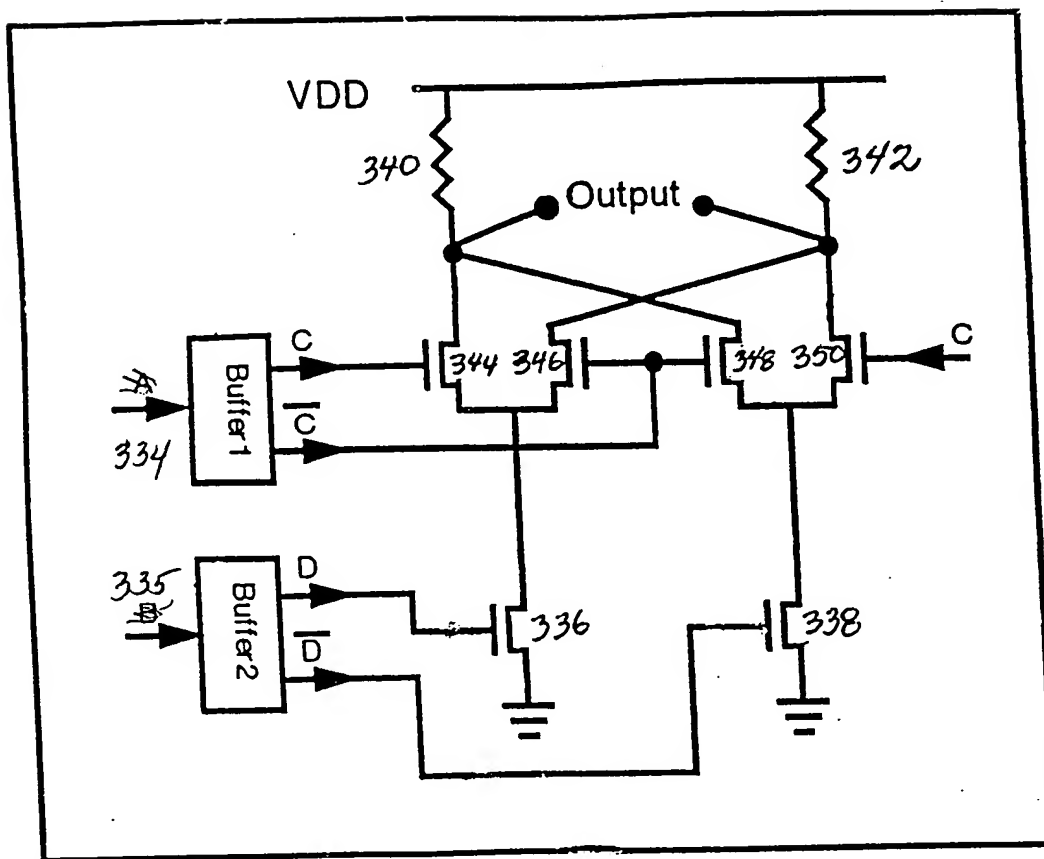


FIG. 23

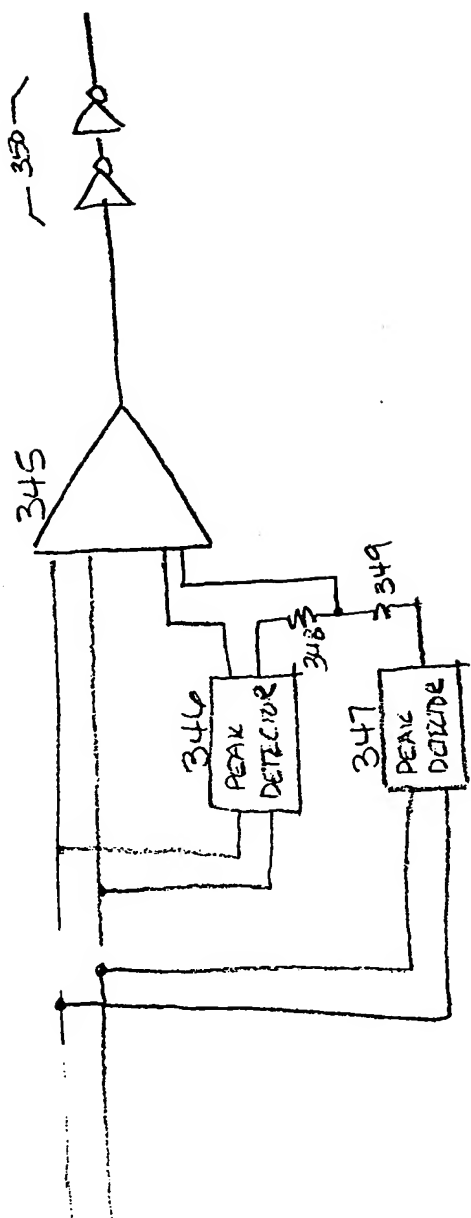


FIGURE 24

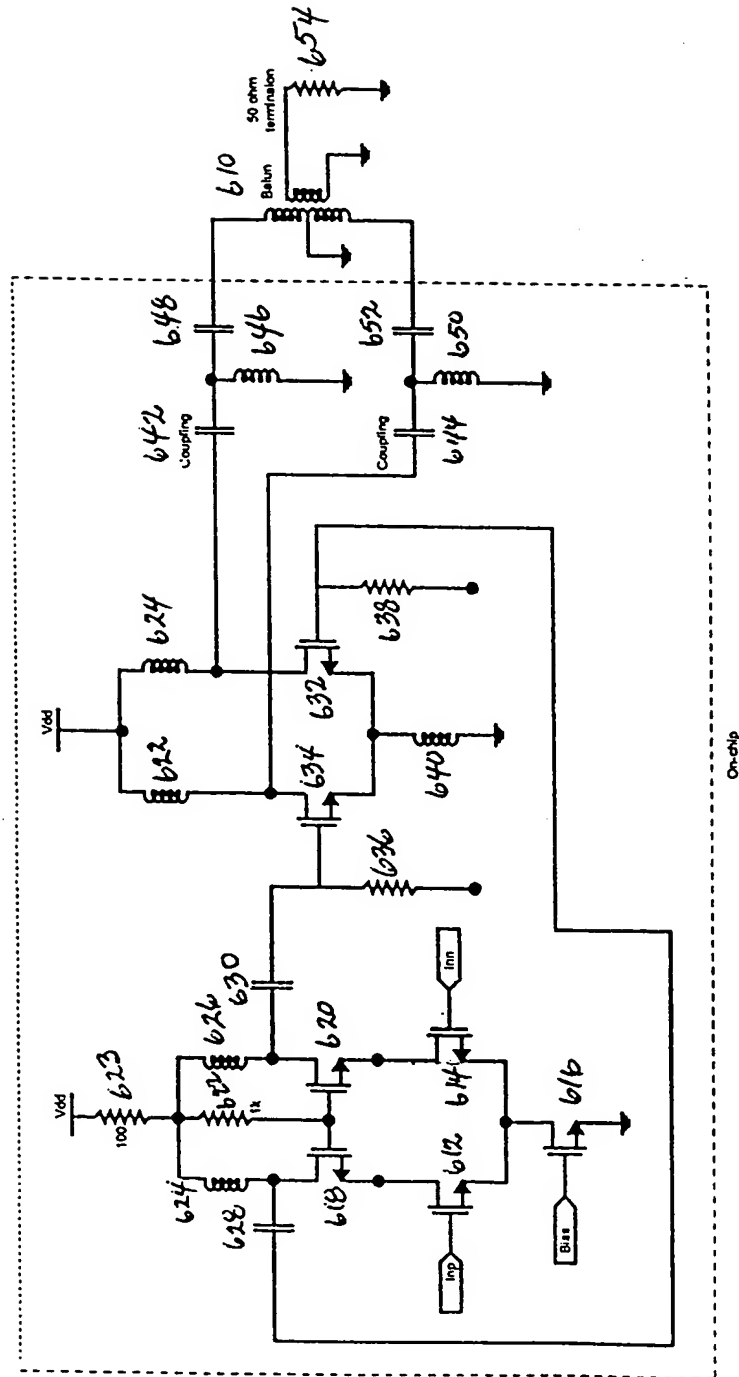


FIG. 25

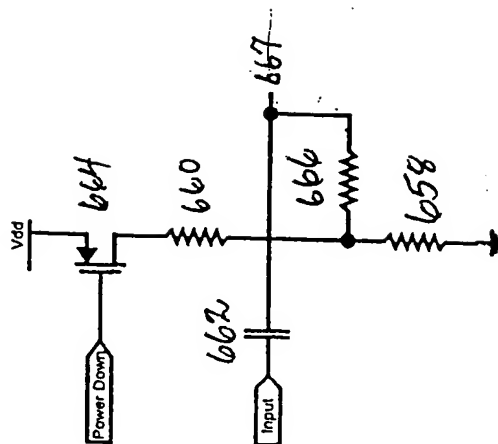


FIG. 26(a)

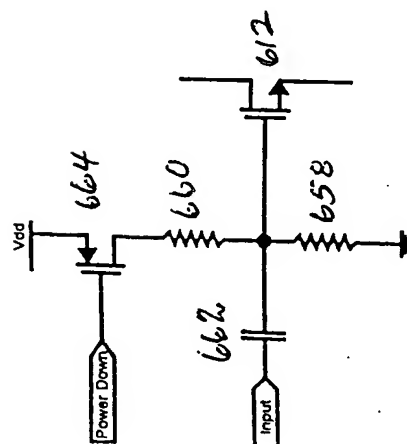


FIG. 26(b)

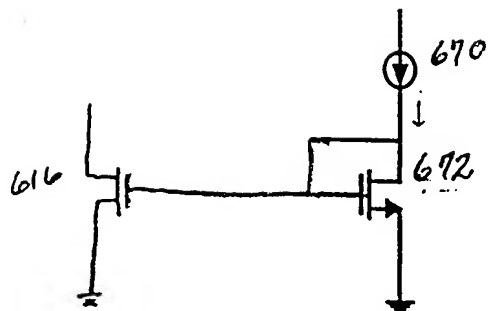


FIG. 27

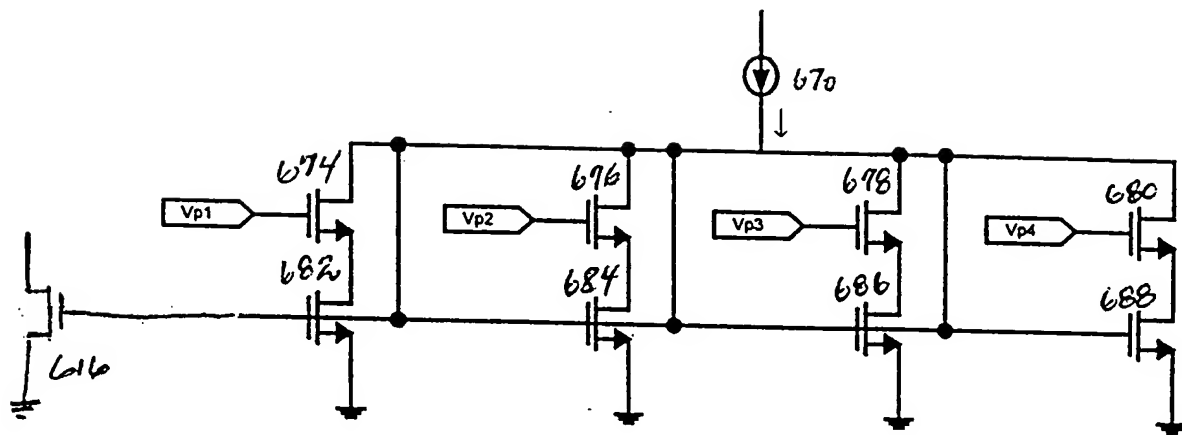


FIG. 28

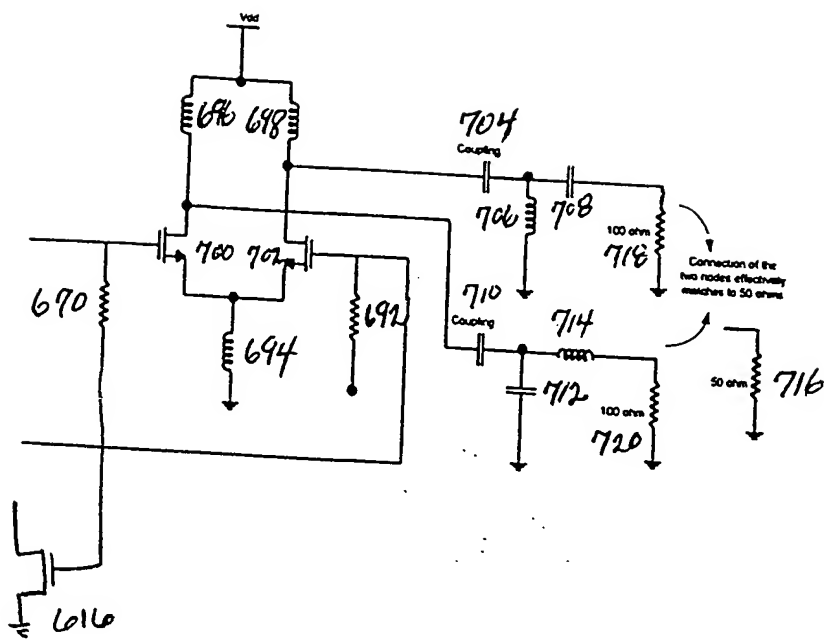


FIG. 29

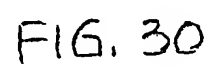


FIG. 30

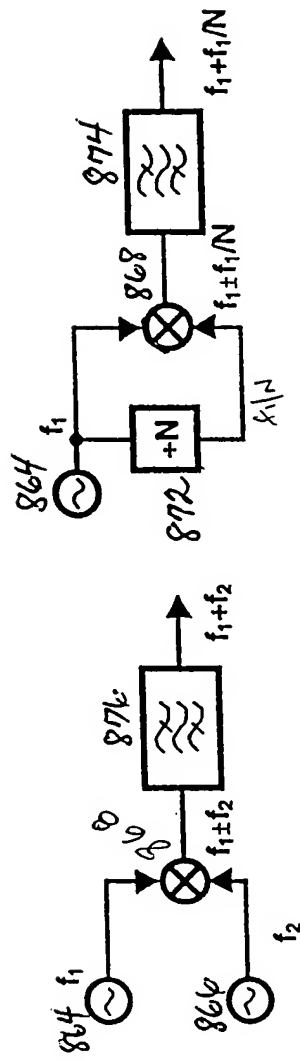


FIG. 31(a)

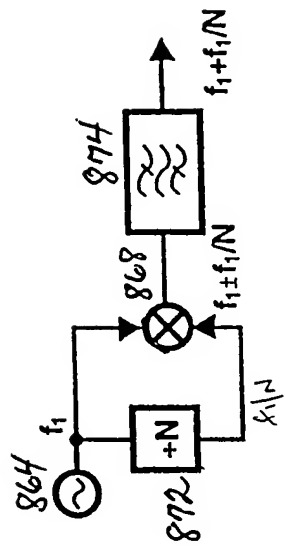


FIG. 31(b)

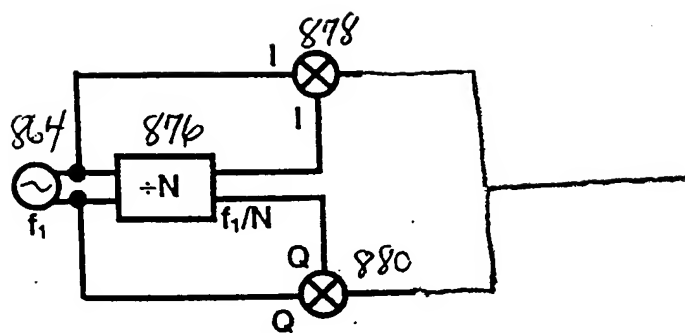


FIG. 32

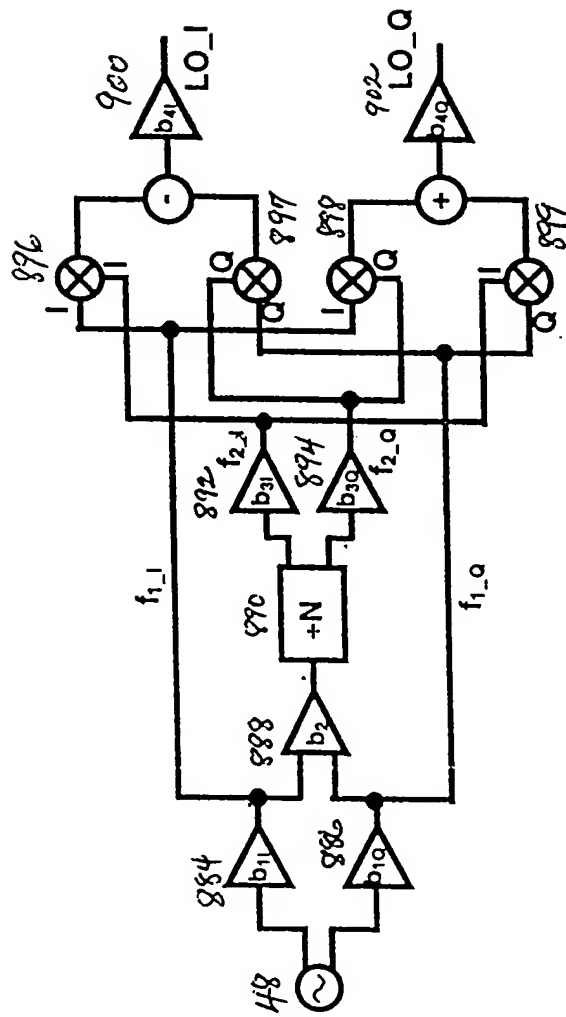


FIG. 33

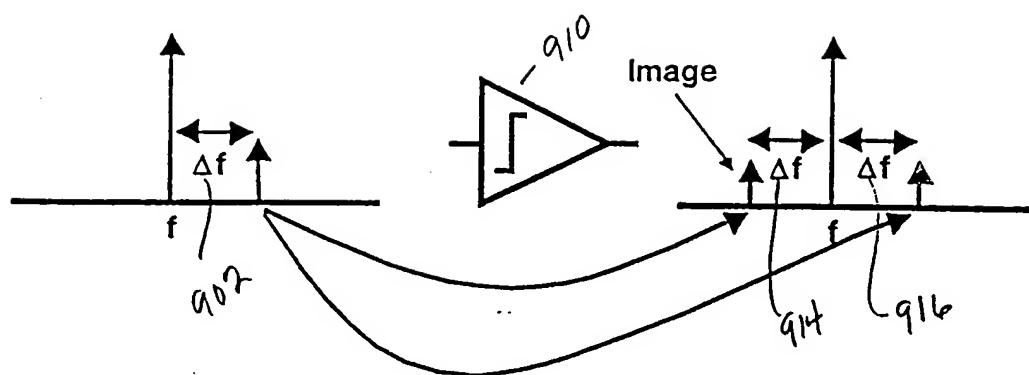


FIG. 33(a)

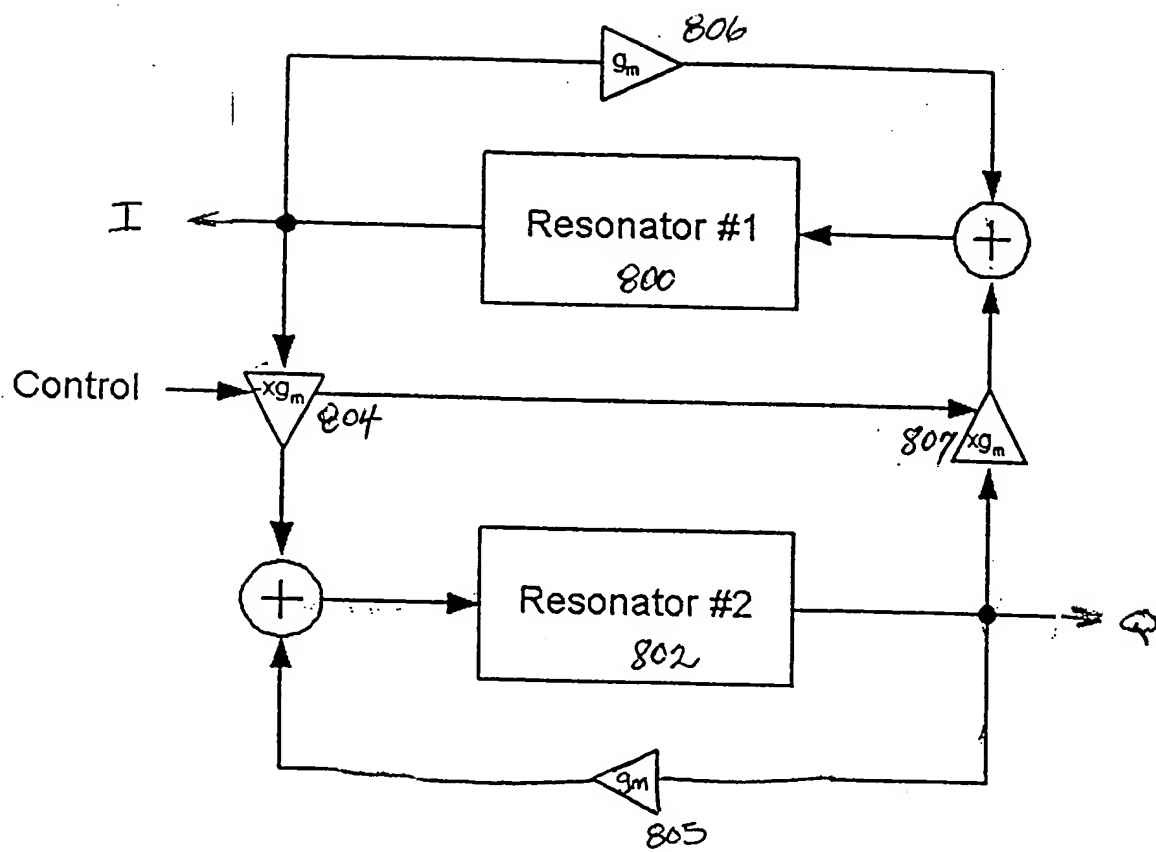


FIG. 34

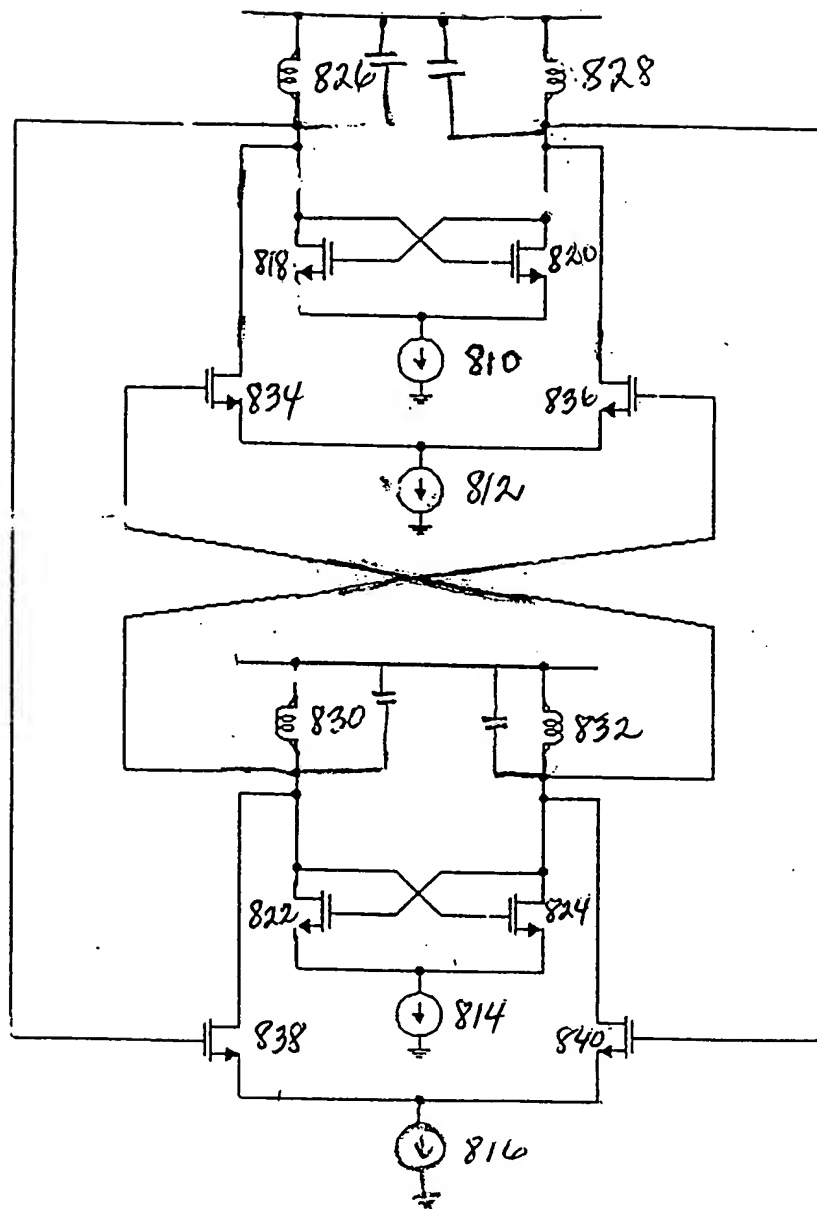


FIG. 35

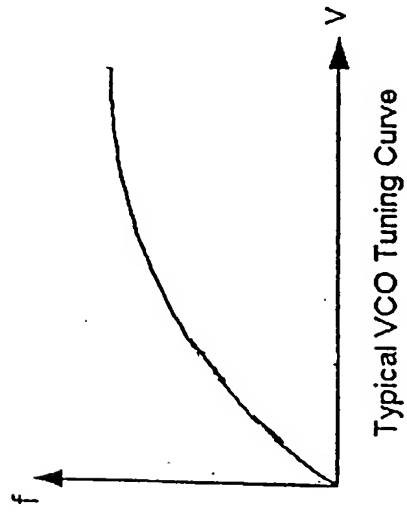


FIG. 36(a)

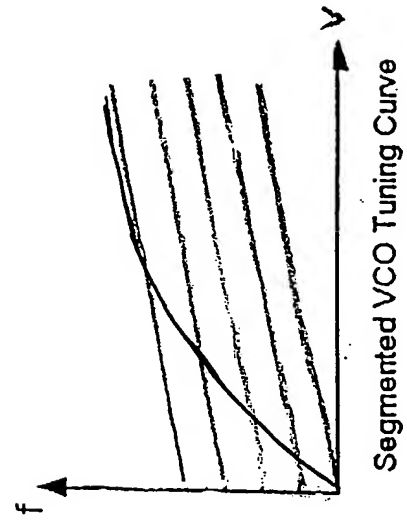


FIG. 36(b)

FIG. 37(a)

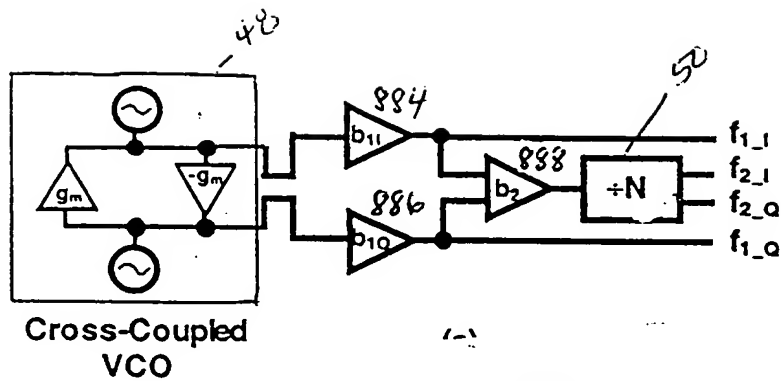
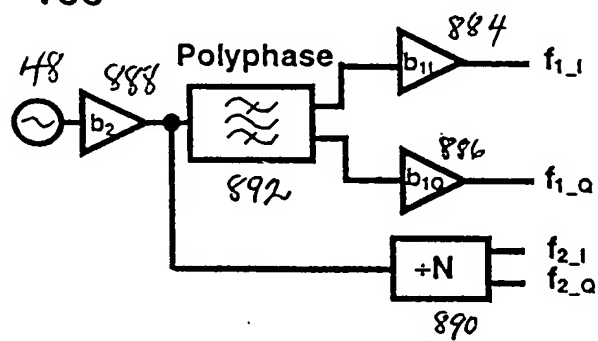


FIG. 37(b)



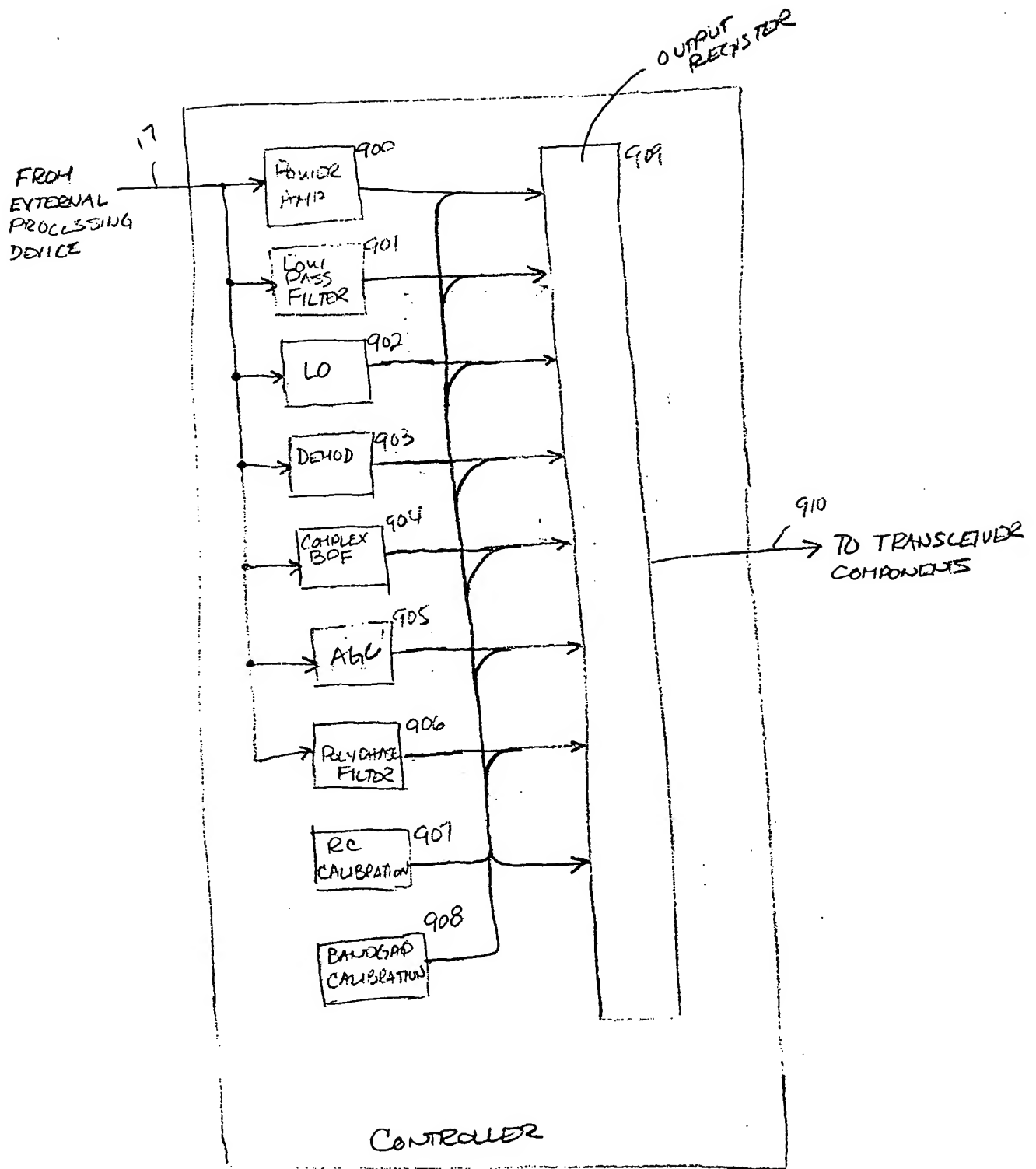


FIGURE 38

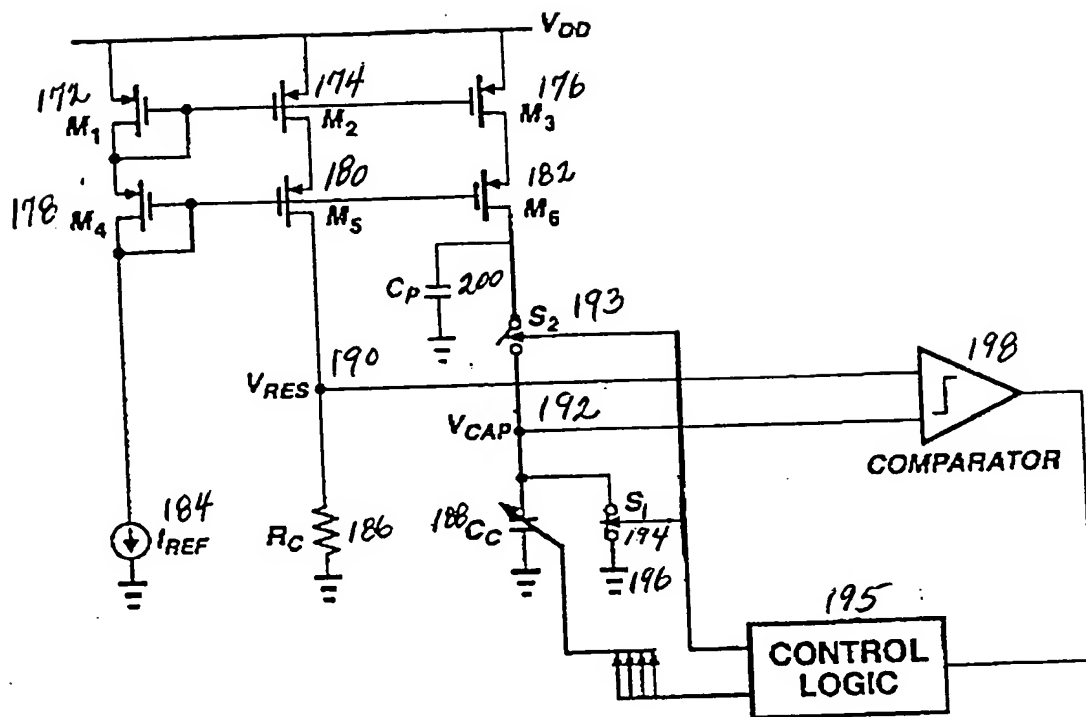


FIG. 39

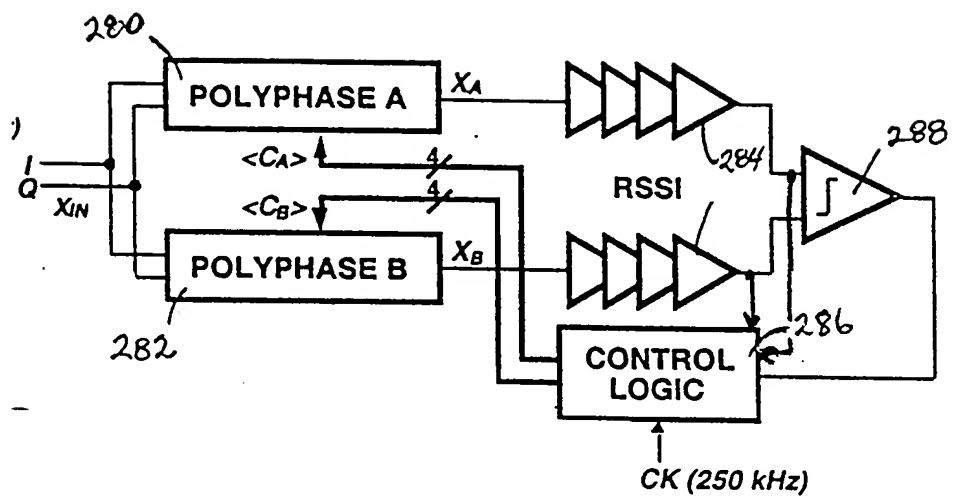


FIG. 40

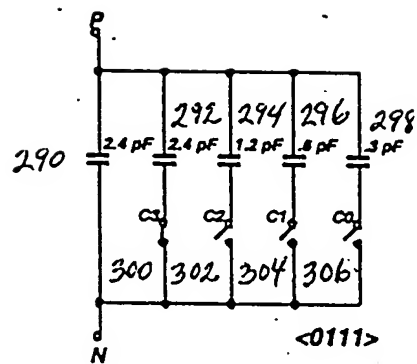


FIG. 41

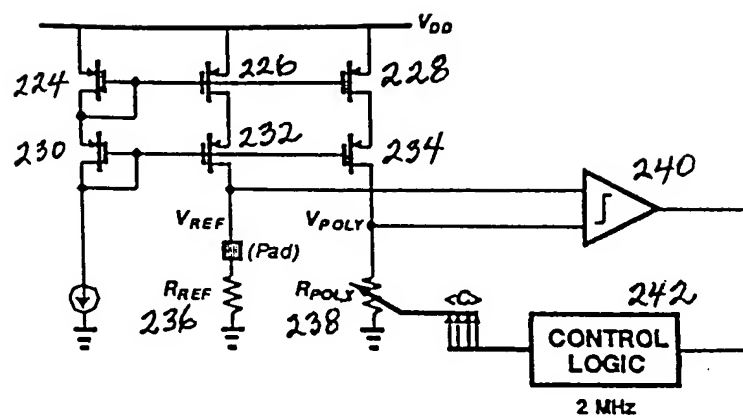


FIG. 42

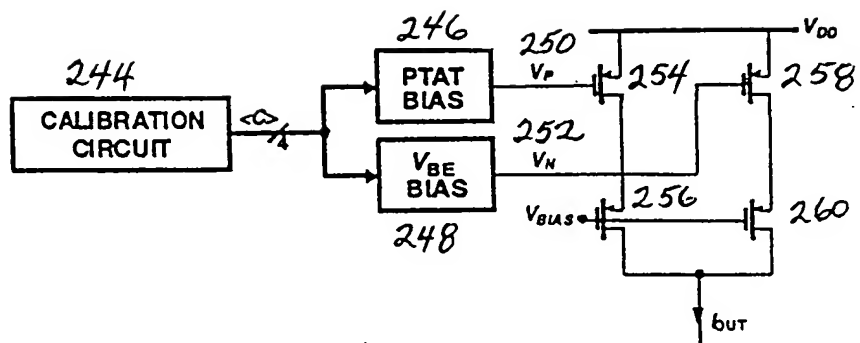


FIG. 43

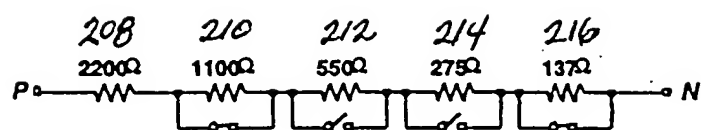


FIG. 44

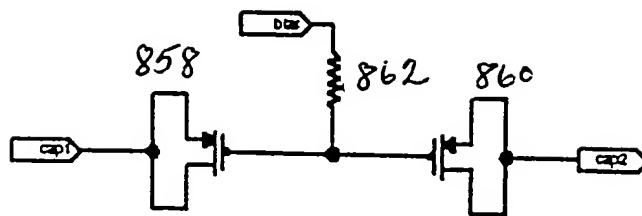


FIG. 45

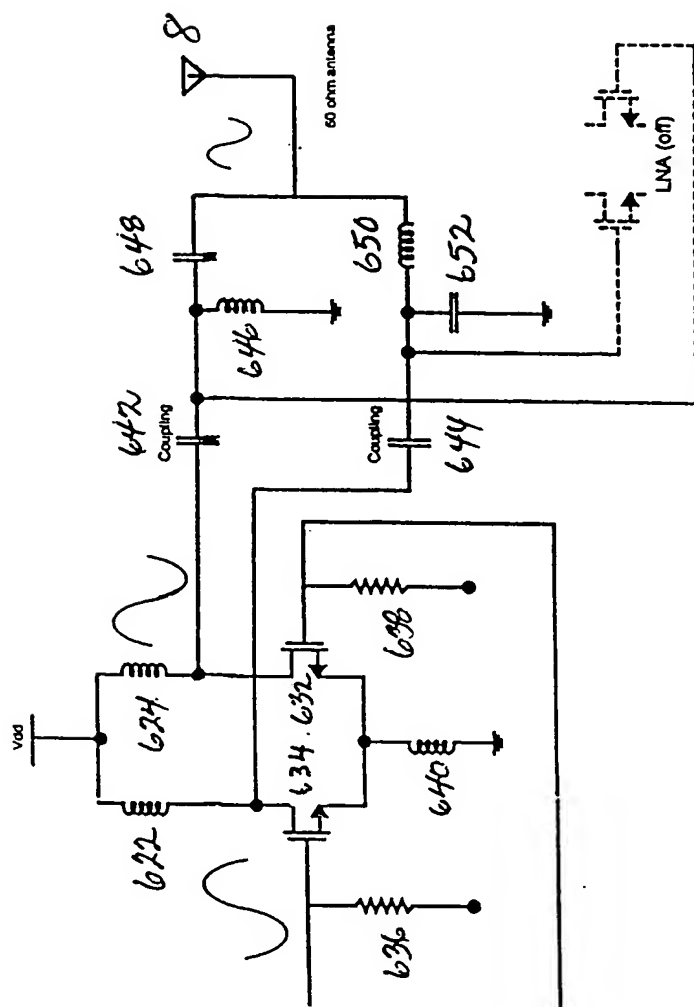


FIG. 46

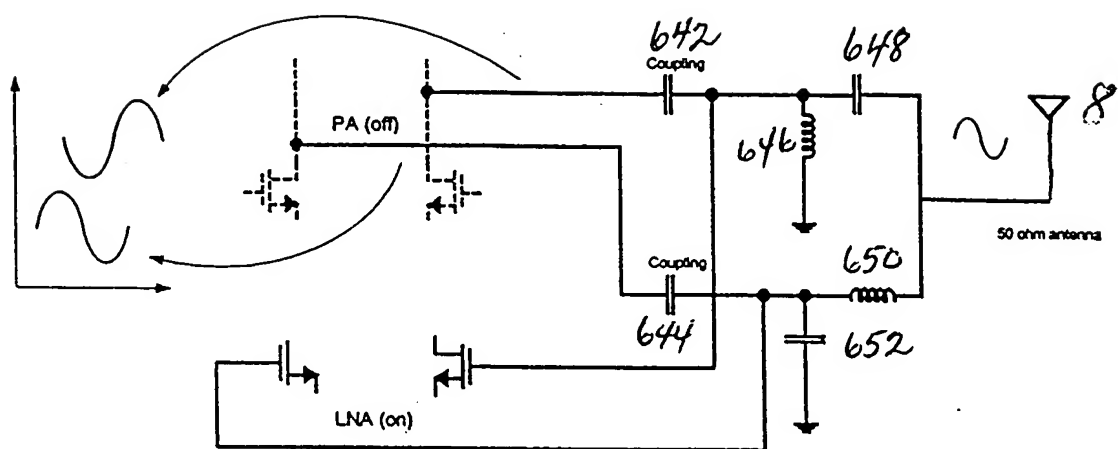


FIG. 47